

---

# PERFORMANCEVERGLEICH KONKURRIERENDER IMPLEMENTIERUNGEN DER BILDKORREKTUR VON AUFNAHMEN MIT EINEM FISCHAUGENOBJEKTIV AUF EINER ZYNQ-PLATTFORM

**Zwischenpräsentation zur Studienarbeit**

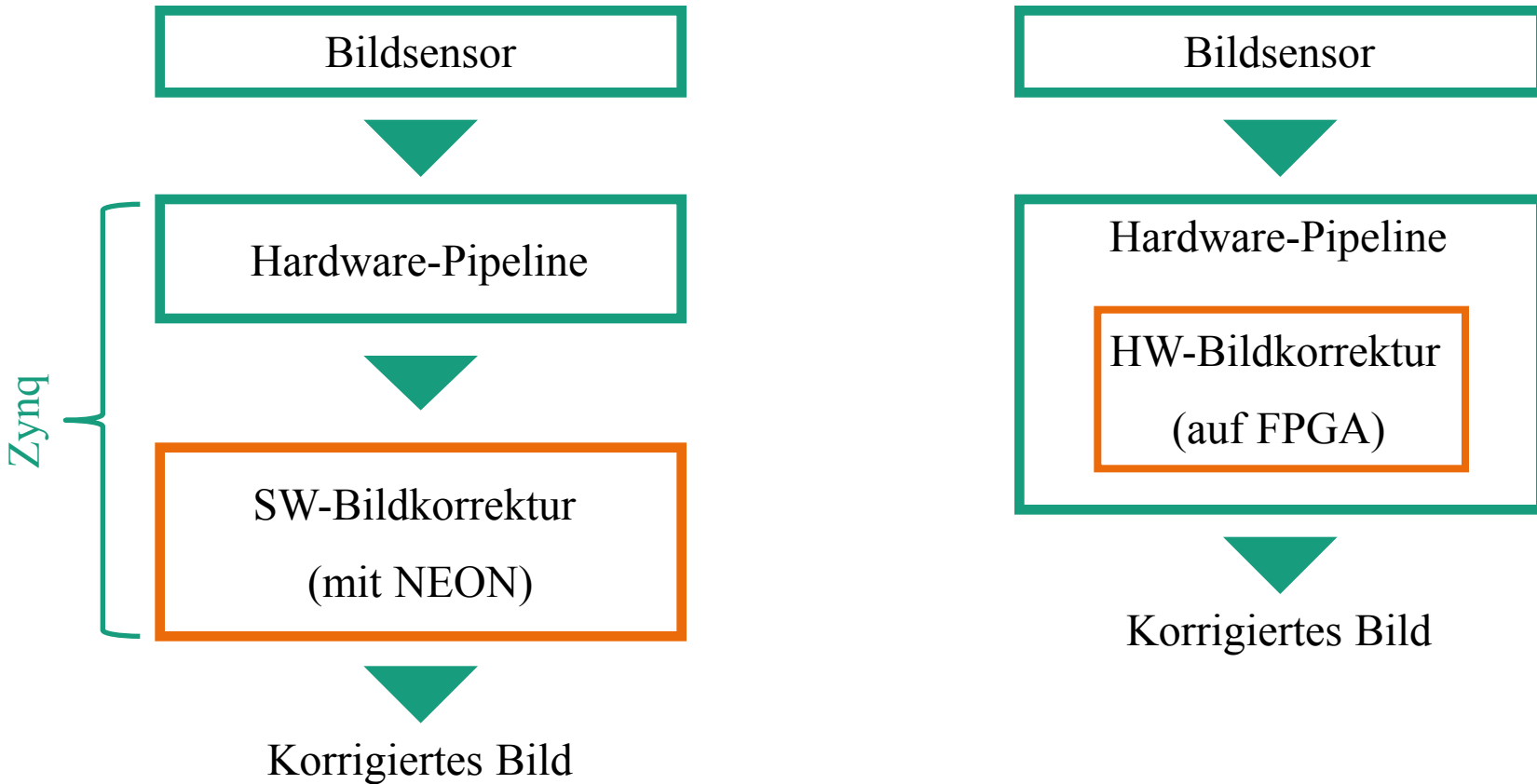
Christian Skubich

---

# Gliederung

- Aufgabenstellung
- Bildkorrektur mit Lensfun
  - Ziel der Bildkorrektur
  - Phasen der Bildkorrektur
    - Korrektur der Projektion
    - Korrektur von Verzerrungen
    - Interpolation
  - Algorithmus
  - Umsetzung in Software/Hardware
- Stand der Arbeit

# Aufgabe: Vergleich von Hardware und SW-Implementierung einer Bildkorrektur auf Zynq-Plattform



# Ziel der Bildkorrektur: Linientreue Darstellung von Fisheye Bildern

- Warum sind Linien nicht gerade abgebildet?
  - Projektion des Objektivs
  - Objektiv-Fehler



Bild-Quelle: peña [1]

# 1. Schritt der Bildkorrektur: Korrektur der Projektion



- Teile vom Bild gehen verloren
- Krümmung der Linien weitestgehend behoben

Bild-Quelle: peña [1]

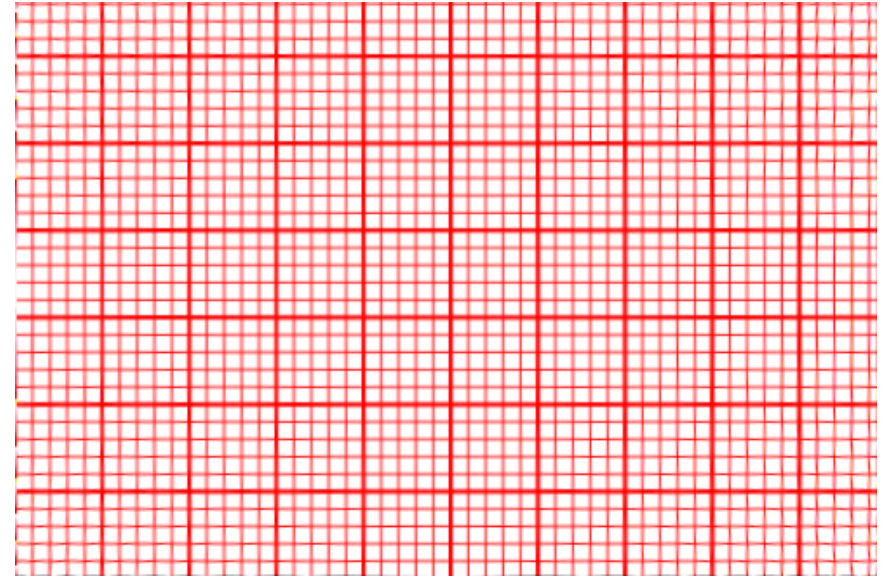
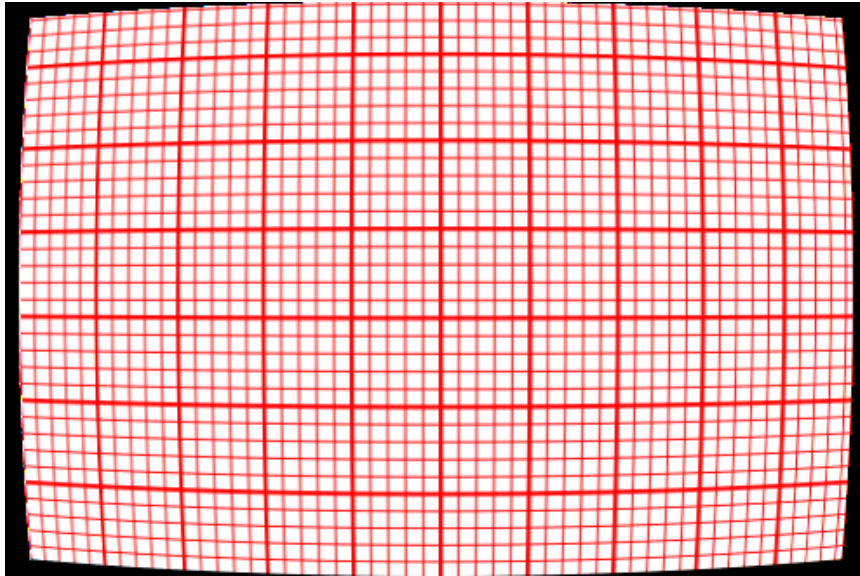
## 2. Schritt der Bildkorrektur: Objektivfehler



- Verbleibende Verzerrungen vor allem an den Rändern/Kanten

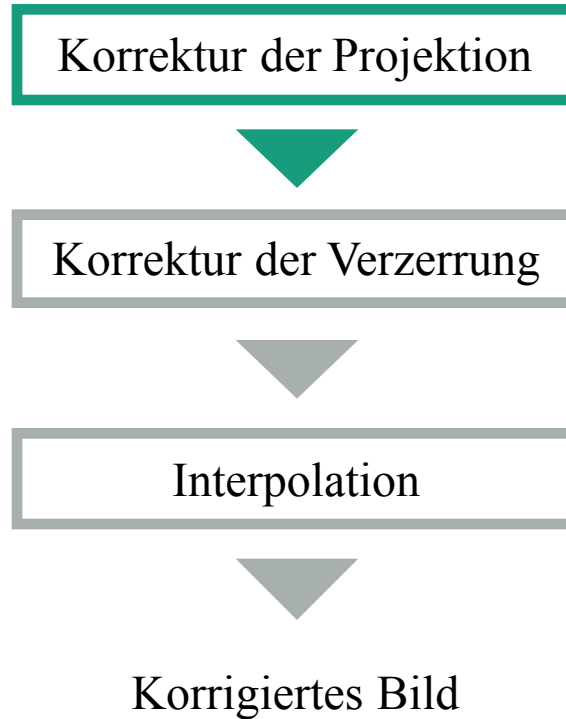
Bild-Quelle: peña [1]

## 2. Schritt der Bildkorrektur: Objektivfehler



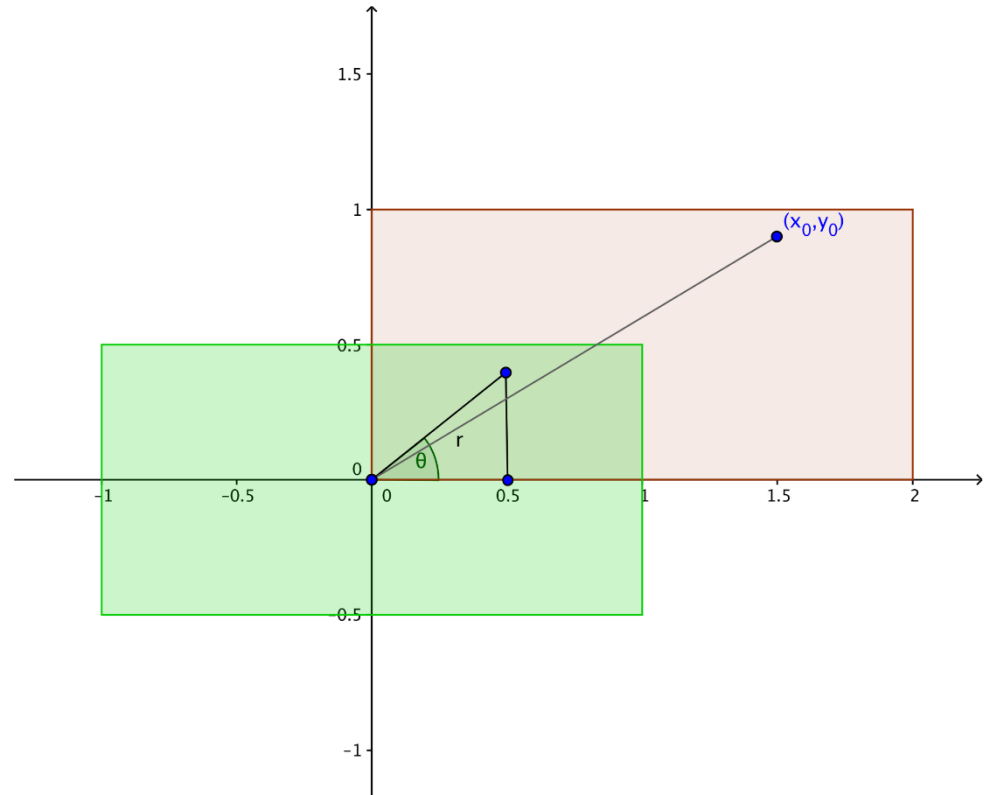
- Simulation der Objektivfehler an Gitter-Bild

# 1. Phase der Bildkorrektur: Korrektur der Projektion



# Koordinatensystem bei Bildkorrektur

- Polarkoordinaten  $(r, \theta)$
- Korrektur des Radius:
  - $r' = f(r)$
  - Winkel bleibt erhalten



# Wichtige Projektionen

## Rectilinear

(linientreu)

$$r = f \cdot \tan(\theta)$$

## Equidistant

$$r = f \cdot \theta$$

## Stereographic

(winkeltreu)

$$r = 2 \cdot f \cdot \tan\left(\frac{\theta}{2}\right)$$

## Equisolid

(flächentreu)

$$r = 2 \cdot f \cdot \sin\left(\frac{\theta}{2}\right)$$

f: Brennweite

$\theta$ : Winkel zw. Optischer Achse und Licht

r: Abstand zwischen Pixel auf Sensor und Sensor Mitte

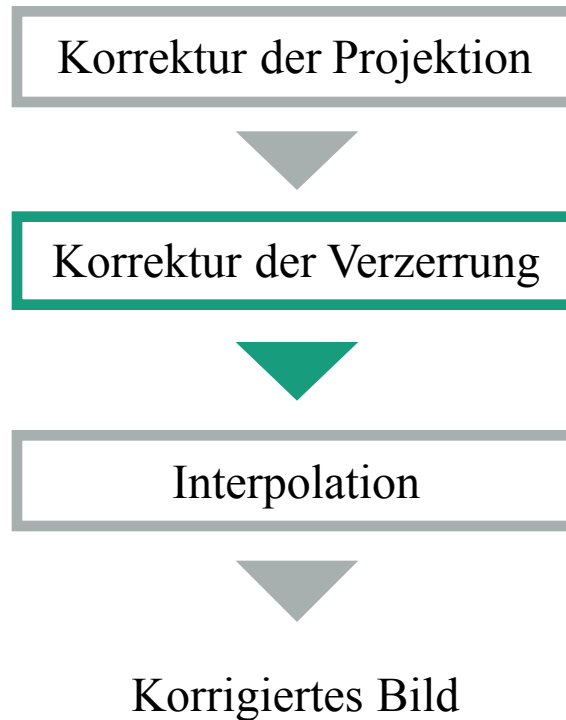
# Änderung der Projektion

- Umrechnen möglich, z.B. Equidistant zu Rectilinear:
  - Kartesische Koordinaten werden mit Verhältnis skaliert

- $$x' = \frac{r_{equidistant}}{r_{rec}} \cdot x = \frac{f \cdot \tan^{-1}(r_{rec}/f)}{r_{rec}} \cdot x$$

Quell-Projektion	Ziel-Projektion	Umrechnungsfaktor
Equidistant	Rectilinear	$\frac{f \cdot \tan^{-1}(r_{rec}/f)}{r_{rec}}$
Equisolid	Rectilinear	$\frac{2f \cdot \sin\left(\frac{\tan^{-1}\left(\frac{r_{rec}}{f}\right)}{2}\right)}{r_{rec}}$
Stereographic	Rectilinear	$\frac{2f \cdot \tan\left(\frac{\tan^{-1}\left(\frac{r_{rec}}{f}\right)}{2}\right)}{r_{rec}} = \frac{2}{1 + \sqrt{1^2 + \left(\frac{r_{rec}}{f}\right)^2}}$

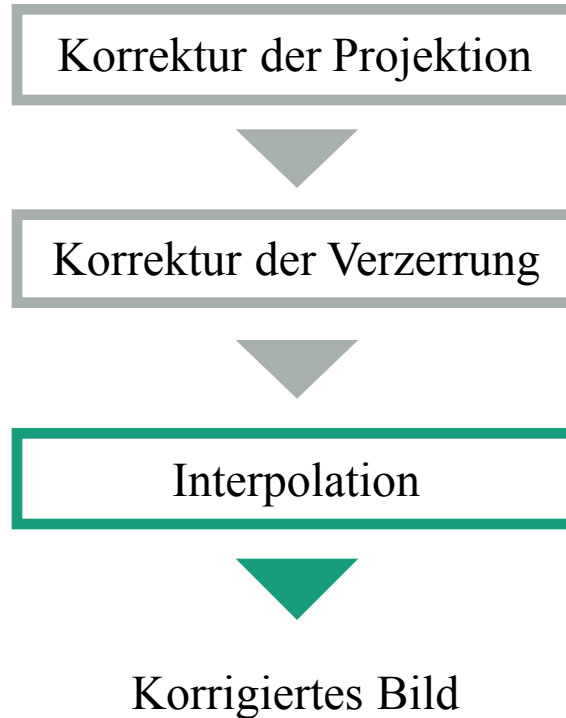
## 2. Phase der Bildkorrektur: Korrektur der Verzerrung



# Modelle zur Verzerrungskorrektur

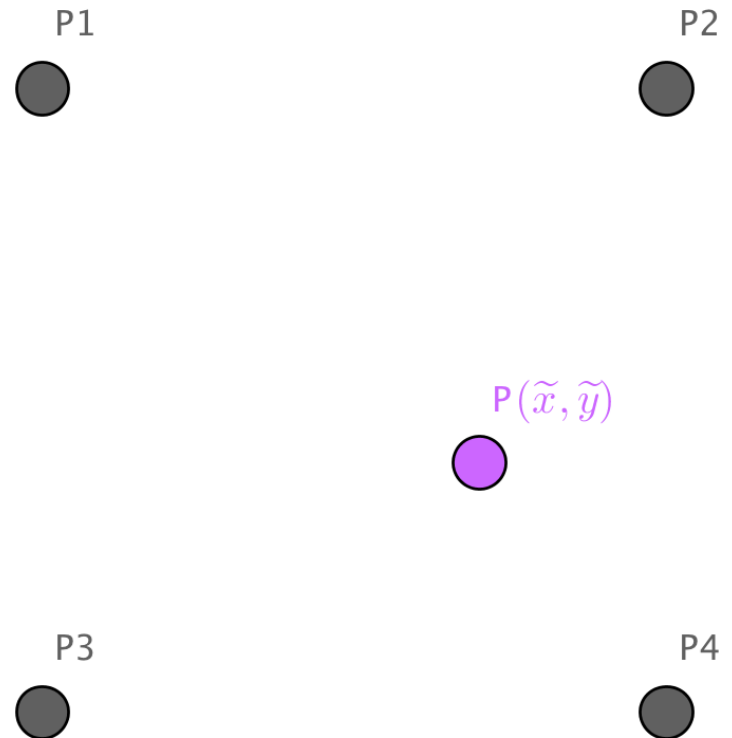
- Unterschied zwischen theoretischer, perfekter Projektion und tatsächlicher Abbildung
- Näherungspolynome für Korrektur:
  - **PTLens**
    - $M(r) = r' / r = a \cdot r^3 + b \cdot r^2 + c \cdot r + (1 - a - b - c)$
  - **Poly3**
    - $M(r) = r' / r = b \cdot r^2 + (1 - b)$
  - **Poly5**
    - $M(r) = r' / r = k_2 \cdot r^4 + k_2 \cdot r^2 + 1$
    - Vorteil: Verzicht auf Wurzelziehen für  $r = \sqrt{x^2 + y^2}$

### 3. Phase der Bildkorrektur: Interpolation



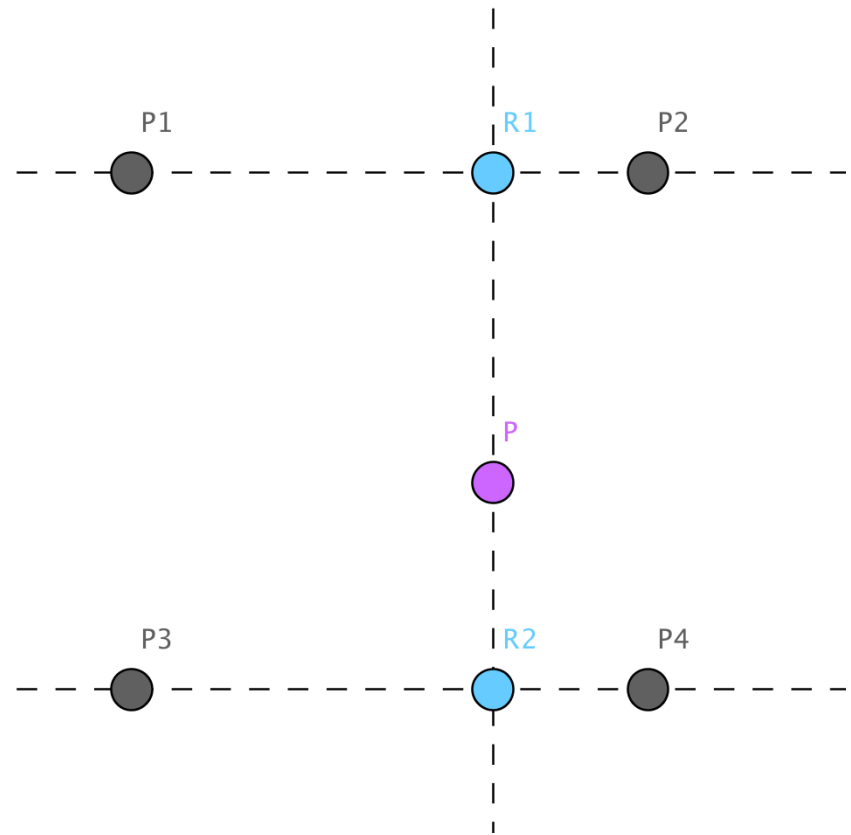
# Interpolation

- Algorithmus liefert für jedes Pixel  $(x,y)$  Quell-Koordinaten  $(\tilde{x}, \tilde{y})$
- $(\tilde{x}, \tilde{y})$ : im Allg. nicht ganzzahlig
  - ▶ Interpolation
- Einfachste Variante: Nearest Neighbour

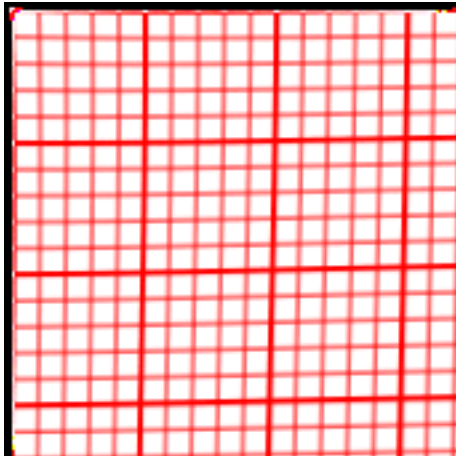


# Bilineare Interpolation

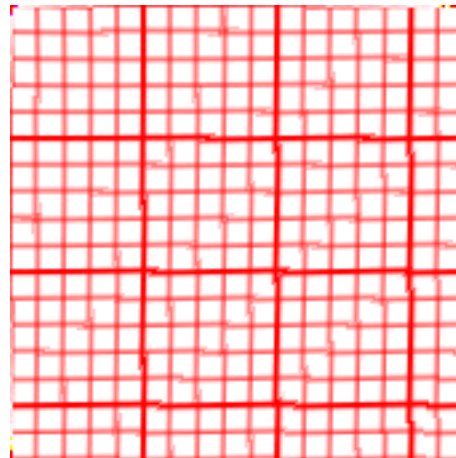
- 3 lineare Näherungen:
  - $P1, P2 \rightarrow R1$
  - $P3, P4 \rightarrow R2$
  - $R1, R2 \rightarrow P$
- Guter Kompromiss zwischen Bildqualität und Rechenaufwand



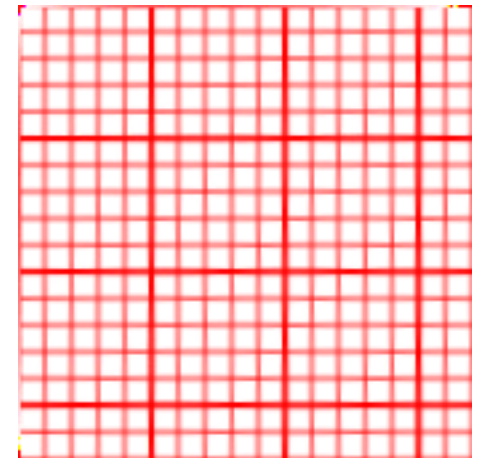
# Nearest Neighbour vs Bilineare Interpolation



Verzerrtes Bild



Korrektur + Nearest  
Neighbour Interpolation



Korrektur + Bilineare  
Interpolation

# Der Code für die Bildkorrektur

```
for y in range(row):  
    for x in range(col):
```

```
    x_scaled = (x-col/2)*norm_scale  
    y_scaled = (y-row/2)*norm_scale
```

Skalierung

```
    r = sqrt (x_scaled * x_scaled + y_scaled * y_scaled) * inv_dist;
```

```
    if(r == 0.0):  
        theta = 1.0 # avoid division by zero  
    else:  
        theta = atan(r)/r
```

Änderung der Projektion

```
    x_scaled = x_scaled * theta  
    y_scaled = y_scaled * theta
```

```
    r2 = x_scaled * x_scaled + y_scaled * y_scaled  
    r = sqrt(r2)  
    m = a *r*r2 + b * r2 + c * r + d
```

Korrektur der Verzerrung

```
    new_x = x_scaled * m  
    new_y = y_scaled * m
```

```
    new_x /= norm_scale  
    new_y /= norm_scale
```

Skalierung

```
    new_x += col/2  
    new_y += row/2
```

```
    dest_array[y,x] = bilinear_interpolation(pixel_arr, new_x, new_y)
```

# Optimierungsansatz: Vorausberechnung der Koeffizienten

- Projektions-Korrektur, Verzerrungs-Korrektur und Interpolation lassen sich zusammenfassen (O: Output-Bild, I: Input-Bild):

$$\blacktriangleright O_{x,y} = I_{x',y'} \cdot a_0 + I_{x',y'+1} \cdot a_1 + I_{x'+1,y'} \cdot a_2 + I_{x'+1,y'+1} \cdot a_3$$

- Für jedes Pixel: einmalig Berechnen und Abspeichern von:
  - Neue Basiskoordinaten  $x', y'$
  - Alternativ: Abweichung speichern:  $\Delta x = x - x'$
  - Koeffizienten  $a_0, a_1, a_2, a_3$
- Vorteil: schnell, Linsen-Modell irrelevant
- Nachteil: Speicherbedarf

# Speicherbedarf für Koeffizienten

- Software: kein Problem
  - Speicherbedarf: 6 x 4 Byte pro Pixel (Single Precision FP)
  - 24 MByte/MPixel
  - Daten passen in Hauptspeicher
  - Auch auf FPGA realisierbar?

# Ansatz für Hardware

- Begrenzter Speicher erfordert anderen Ansatz
- Variante 1: Implementierung ohne Vorausberechnung
  - $\times$ ,  $\tan^{-1}$ ,  $\sin^{-1}$  und  $\sqrt{\quad}$  in HW
  - CORDIC oder Tabellen für Winkelfunktionen notwendig

# Ansatz für Hardware

## ■ Variante 2: Vorausberechnung des Skalierungsfaktors

- Algorithmus skaliert letztendlich nur den Radius jedes Punktes

- Durch Zusammenfassen der Berechnungsschritte ergibt sich z.B.:

- $$S(r) = \frac{r'}{r} = \left(\frac{\text{atan}(\tilde{r})}{\tilde{r}}\right)^3 a + \left(\frac{\text{atan}(\tilde{r})}{\tilde{r}}\right)^2 b + \left(\frac{\text{atan}(\tilde{r})}{\tilde{r}}\right) c + d$$

mit normiertem Radius  $\tilde{r} = r \cdot \frac{\text{norm}_{scale}}{f}$

- Mit Skalierungsfaktor können Quellkoordinaten bestimmt werden:

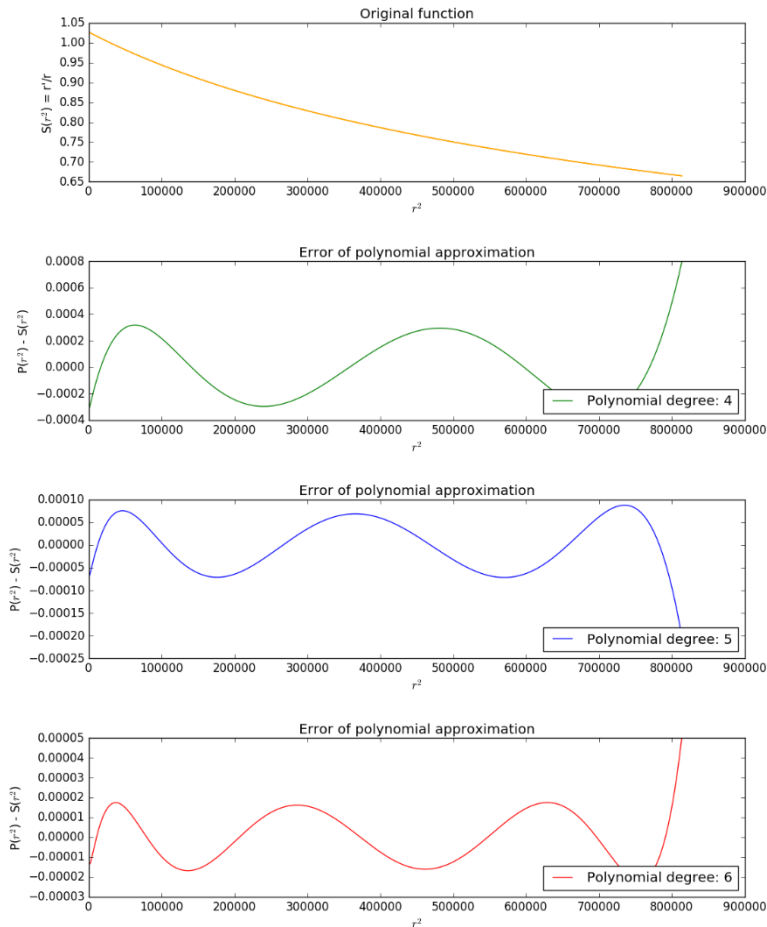
$$(x', y') = \left(x \frac{r'}{r}, y \frac{r'}{r}\right)$$

- Anschließend: Interpolation

- $S(r)$  kann nicht für jeden relevanten Radius  $r$  abgespeichert werden

⇒ Näherung durch Polynom oder Tabelle

# Näherung von $S(r^2)$ durch Polynome



- Curve Fitting mit Python (Methode der kleinsten Fehlerquadrate)
- Vergleich zu Tabelle + linearer Interpolation:
  - kein Block-RAM notwendig
  - dafür größerer DSP-Bedarf
- Offene Fragen
  - Welcher Fehler ist klein genug, damit Unterschied nicht auffällt?
  - Wieviel Bit Genauigkeit bei Berechnungen?

# Stand der Arbeit

## ■ Erledigt

- Literaturrecherche zu NEON, Bildkorrektur
- Algorithmus aus Lensfun Quellcode rekonstruieren
- Projektion + Verzerrungskorrektur + Interpolation in C implementiert
- Ansatz für SW-Optimierung: Koeffizienten vorausberechnen
- Ansatz für HW-Implementierung: Polynom

## ■ TODO

- C-Implementierung für NEON anpassen
- VHDL-Implementierung
- Integration in Pipeline
- Dokumentation fertigstellen

# Quellen

- Fisheye-Bild
  - peña [1]: Carlos F. Peña, CC BY-NC-SA 2,0, <https://www.flickr.com/photos/cfpg/6643416977/> (Canon EOS 7D, Sigma Fisheye 2.8 10 mm)
- Literatur
  - Dokumentation zu Lensfun (<http://lensfun.sourceforge.net/manual/corrections.html>)

